

как его величина замедлено изменяется (в рассматриваемом случае отрицательных B_4 — уменьшается). Это можно использовать для экспериментального обнаружения эффектов негауссовой статистики. Необходимая при этом дисперсия σ_ψ^2 достаточно просто находится из измерений ослабления когерентного лазерного пучка слабошероховатым диффузором в оптической фурье-системе.

ЛИТЕРАТУРА

1. Goodman J. W. In *Laser Speckle and Related Phenomena*, — Berlin Springer-Verlag, 1975, p. 9.
2. Jakeman E., Pusey P. N. — *J. Phys. A.*, 1975, 8, № 3, p. 369.
3. Escamilla H. M. — *Opt. Acta*, 1978, 25, № 8, p. 777.
4. Хусу А. П., Витенберг Ю. Р., Пальмов В. А. Шероховатость поверхности — М.: Наука, 1975. — 343 С
5. Малахов А. Н. Кумулянтный анализ случайных негауссовых процессов и их преобразований. — М.: Сов. радио, 1978 — 376 С.
6. Коблянский Ю. В., Курашов В. Н., Машенко А. И. — УФЖ, 1981, 26, № 10, с. 1615.
7. Marcinkiewicz J. — *Math. Zeitschr.*, 1938, 44, № 4, p. 612.

Киевский государственный
университет

Поступила в редакцию
4 февраля 1983 г.,
в окончательном варианте
14 июня 1983 г.

УДК 621.396.677

К ИССЛЕДОВАНИЮ АНТЕННОЙ РЕШЕТКИ С РЕФЛЕКТОРОМ

Э. М. Инспекторов

Характеристики антенных решеток с рефлектором обычно рассчитывают по приближенной методике [1], полагая рефlector бесконечным. Конечные размеры рефлектора можно приближенно учесть, аппроксимируя его полуплощадью [2]. Можно для анализа применить численные методы, развитые в [3] и [4], где задача сводится к интегральным уравнениям Фредгольма I рода или интегродифференциальным уравнениям. В данной работе используется интегральное уравнение Фредгольма II рода для магнитного поля, имеющее ряд преимуществ, применение которого к исследованию дифракции на тонких экранах рассмотрено в [5] для H -поляризации.

В работе решается задача дифракции поля решетки на идеально проводящем рефлекторе с кромками конечной толщины. Рассмотрена двумерная задача и случай E -поляризации.

Пусть источником первичного поля является система M нитей электрического тока, ориентированных в направлении оси z (см. рис. 1). Меняя сдвиг фазы ψ между нитями, можно управлять диаграммой направленности. На поверхности рефлектора наводится электрический поверхностный ток I_z^0 , уравнение для определения которого имеет вид

$$I_z^0(u_2) + 2 \oint_l I_z^0(u'_2) \frac{\partial G}{\partial u_1} dl = -2 \sum_{m=1}^M \frac{\partial G_m}{\partial u_1} e^{-il(m-1)\psi}. \quad (1)$$

Здесь применена ортогональная криволинейная система координат u_1 , u_2 , z , где u_1 и u_2 направлены соответственно по нормали и касательной к контуру l ; G — двумерная функция Грина для свободного пространства; штрихом обозначена переменная точка интегрирования. Уравнение (1) аналогично использованному в [6] и отличается от него только правой частью.

При численном решении контур l разбивался на N интервалов и уравнение (1) сводилось к системе N алгебраических уравнений. Вычислительная схема, по которой велось решение, приведена в [3]. Величина интервала на кромках составляла $0,05\lambda$, на остальной части рефлектора не превышала $0,15\lambda$ при $\psi=0$ и $0,1\lambda$ при $\psi=0,707\lambda$ (в этом случае имеются более резкие осцилляции тока).

По найденным токам I_z^0 и заданным сторонним токам определяются компоненты поля. Для E_z имеем

$$E_z = - \oint_l I_z^0(u_2') l \omega \mu G dl - l \omega \mu \sum_{m=1}^M G_m e^{-l(m-1)\psi}. \quad (2)$$

В [5] показана возможность замены замкнутого контура интегрирования l незамкнутым. Поскольку эти выводы справедливы и для E -поляризации в (1) и (2), контур l включал помимо освещенной стороны и кромок рефлектора участки длиной \tilde{l} , простирающиеся в область тени.

Для оценки точности полученного решения проверялось выполнение условия $E_z=0$ на поверхности рефлектора. Отклонение E_z -компоненты (определенной по формуле (2)) от нуля не превышало 1,5% амплитуды первичного поля.

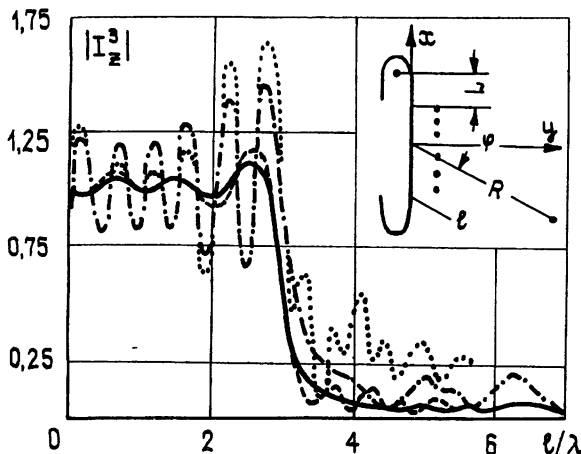


Рис. 1.

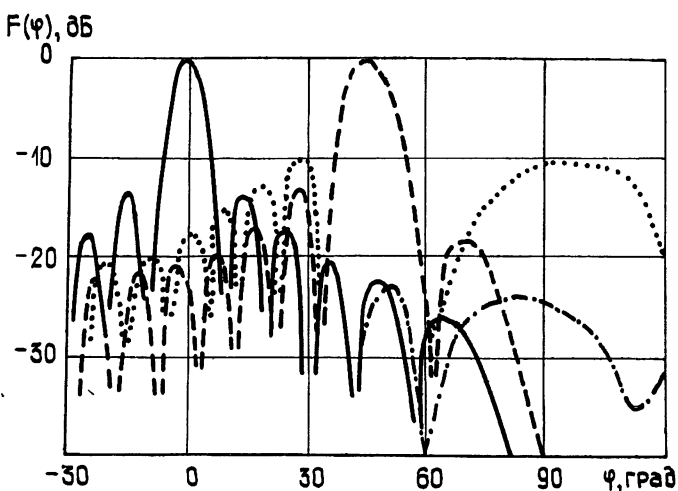


Рис. 2.

Расчетная модель (см. рис. 1) представляет собой решетку из M нитей электрического тока, отстоящих на $\lambda/2$ друг от друга. На расстоянии $\lambda/4$ от решетки расположен рефлектор с закругленными кромками радиуса $a=0,19\lambda$. Такая модель приближенно имитирует решетку вибраторных излучателей в плоскости вектора H . Толщина рефлектора $2a$ достаточно велика, и погрешности, рассмотренные в [5], влияния не оказывают. Размер рефлектора L изменялся от 0 до 2λ . Число излучателей M равно 12, сдвиг фазы между излучателями ϕ менялся от 0 до $0,707\pi$.

На рис. 1 приведены распределения поверхностного тока для половины ($x<0$) контура рефлектора. Сплошной линией дано распределение для $\psi=0$ и $L=2\lambda$, штрих-

пунктирной — для $\psi=0,707\pi$ и $L=\lambda'$, штрихов $\bar{\psi}$ — для $\psi=0$ и $L=\lambda$ и пунктирои $\ddot{\psi}$ — для $\psi=0,707\pi$ и $L=\lambda$. Распределение тока в освещенной стороне при $L=2\lambda$ практически совпадает с $2H_{tg}^{max}$, отклонения амплитуды тока от этого значения растут с уменьшением L и увеличением ψ . При $\psi \neq 0$ резко возрастает амплитуда тока, затекающего в область тени.

При расчете поля в освещенной области компонента E_z определялась по формуле (2) в точках, расположенных по дуге окружности в дальней зоне в интервале углов $-120^\circ < \phi < 120^\circ$. Диаграммы направленности нормировались по отношению к максимуму. Для сравнения рассчитывалась также диаграмма направленности по методике [1] для $L=\infty$.

На рис. 2 приведены диаграммы направленности для $L=\infty$ и $L=\lambda/4$. Сплошной линией даны диаграммы при $\psi=0$ и $L=\infty$, штрихпунктирной при $\psi=0$ и $L=\lambda/4$, штриховой — при $\psi=0,707\pi$ и $L=\infty$ и пунктирной — при $\psi=0,707\pi$ и $L=\lambda/4$ (в двух последних вариантах направление максимума соответствует $\varphi=45^\circ$). Диаграммы направленности для конечного размера L отличаются от случая $L=\infty$ возрастанием уровня боковых лепестков и увеличением излучения вблизи $\varphi=\pm 90^\circ$. Различия растут с уменьшением L и увеличением ψ . Наибольшие различия имеются вблизи $\varphi=\pm 90^\circ$. Хорошее совпадение с приближенным расчетом [1] (возрастание уровня первых боковых лепестков не более чем на 1 dB) получается для $\psi=0$ при $L>\lambda/4$, а для $\psi=0,707\pi$ при $L>\lambda/2$.

При исследовании поля в области тени компонента E_z рассчитывалась по формуле (2) на оси симметрии ($x=0$) и в плоскости, отстоящей от оси симметрии на $\lambda/4$ ($x=\lambda/4$).

Зависимость ослабления поля по отношению к первичному от расстояния до рефлектора приведена на рис. 3 для нескольких вариантов размера L при $\psi=0$. Сплошные линии соответствуют плоскости $x=0$, а штриховые — $x=\lambda/4$. Видно, что на оси симметрии ослабление поля минимально, поскольку здесь дифрагировавшие в область тени поля складываются в фазе. На расстоянии $\lambda/4$ от оси симметрии вблизи рефлектора дифрагировавшие поля противофазны, поэтому ослабление здесь максимальное.

Полученные результаты могут быть использованы для оценки уровня излучения под углами, близкими к $\varphi=\pm 90^\circ$, и уровня боковых лепестков в диаграмме направленности сканирующих антенных решеток с рефлектором конечных размеров, а также оценки экранирующих свойств рефлектора.

ЛИТЕРАТУРА

1. Айзенберг Г. З. Коротковолновые антенны. — М.: Связиздат, 1962, с 289
2. Пименов Ю. В., Метрикин Р. А. — Электросвязь, 1974, № 12, с 54
3. Давыдов А. Г., Захаров Е. В., Пименов Ю. В. — ДАН СССР, 1981, 261, № 2, с. 338.
4. Назарчук З. Т. — Радиотехника и электроника, 1981, 26, № 4, с 701
5. Инспекторов Э. М. — Изв. вузов — Радиофизика, 1982, 25, № 10, с 1099
6. Инспекторов Э. М. — Изв. вузов — Радиофизика, 1982, 25, № 4, с 480.

Гомельский государственный
университет

Поступила в редакцию
10 марта 1983 г,
после сокращения
3 октября 1983 г

УДК 621.372 8 09

ЭНЕРГЕТИЧЕСКИЕ ХАРАКТЕРИСТИКИ ВОЛНЫ В ВОЛНОВОДЕ С ДВИЖУЩЕЙСЯ ДИСПЕРГИРУЮЩЕЙ СРЕДОЙ

Э. Д. Газазян, Э. М. Лазиев, А. Д. Тер-Погосян

В работе [1] была определена плотность энергии E - и H -типов волн, распространяющихся в регулярном волноводе, заполненном движущейся средой. Предполагалось, что в системе отсчета, где среда покоятся, она обладает временной диспер-